

## Pd/Cu<sub>x</sub>Co<sub>3-x</sub>O<sub>n</sub> 界面的可控制备及高效催化甲苯燃烧反应

冯一纳 曾亦强 蒋武 季伟捷\*

(南京大学化学化工学院介观化学教育部重点实验室,南京 210023)

**摘要:**采用水热合成法制备了形貌规整且主要暴露晶面为(112)面的Co<sub>3</sub>O<sub>4</sub>六角片,在此基础上掺杂了适量的Cu元素,并且可控沉积了窄尺寸分布的Pd粒子。制备过程简单、绿色且产率高。所得材料应用于催化甲苯完全氧化反应时表现出优异的催化性能,其中Pd/h-Cu<sub>0.18</sub>Co<sub>2.82</sub>O<sub>n</sub>的T<sub>90</sub>(甲苯的转化率达到90%时的反应温度)低至198℃。通过X射线衍射(XRD)、扫描电子显微镜(SEM)、透射电子显微镜(TEM)、比表面积测试(BET)、H<sub>2</sub>程序升温还原(H<sub>2</sub>-TPR)、X射线光电子能谱(XPS)对催化剂的结构和理化性质进行了表征。结果表明,适宜量的Cu掺杂后Co<sub>3</sub>O<sub>4</sub>基底氧空位增多,活化氧的能力增强,表面存在丰富的吸附物种,表现出与贵金属基催化剂相媲美的催化活性。引入的Pd组分主要以PdO形式存在,基底Cu掺杂进一步提升了Pd的氧化态,表面高反应性的氧种更多,反应活性更高。

**关键词:**催化燃烧反应;规整形貌;Co<sub>3</sub>O<sub>4</sub>;铜;钯;甲苯

**中图分类号:** O643   **文献标识码:** A   **文章编号:** 1001-4861(2019)07-1230-09

**DOI:** 10.11862/CJIC.2019.144

## Controllable Synthesis of Pd/Cu<sub>x</sub>Co<sub>3-x</sub>O<sub>n</sub> Interfaces for Highly Efficient Catalytic Combustion of Toluene

FENG Yi-Na ZENG Yi-Qiang JIANG Wu JI Wei-Jie\*

(Key Laboratory of Mesoscopic Chemistry, MOE, School of Chemistry and Chemical Engineering,  
Nanjing University, Nanjing 210023, China)

**Abstract:** The morphologically uniform Co<sub>3</sub>O<sub>4</sub> hexagonal plates (*h*-Co<sub>3</sub>O<sub>4</sub>) with the dominantly exposed (112) facet were fabricated by a hydrothermal synthesis approach. Then Cu elemental doping was successfully applied to the *h*-Co<sub>3</sub>O<sub>4</sub> substrate, and further controllable deposition of Pd nanoparticles with a narrow size distribution was achieved. All the fabrication procedures were technically simplified and environmentally friendly, with high production efficiency. Among the various catalysts, the Pd/h-Cu<sub>0.18</sub>Co<sub>2.82</sub>O<sub>n</sub> showed the lowest T<sub>90</sub> value (the reaction temperature at which the conversion rate of toluene reaches 90%) (198 ℃) for toluene combustion. The structural and physicochemical properties of catalysts were characterized by X-ray diffraction (XRD), scanning electron microscope (SEM), transmission electron microscope (TEM), N<sub>2</sub> adsorption-desorption (BET), hydrogen temperature programmed reduction (H<sub>2</sub>-TPR), and X-ray photoelectron spectroscopy (XPS). The results showed that the specific surface area of the substrate decreased after the Cu doping into Co<sub>3</sub>O<sub>4</sub>, accompanying with the enriched surface defects (oxygen vacant sites) responsible for the enhanced capability of oxygen adsorption/activation and the abundant oxygen adspecies as a result. These characters ensured a promising catalyst performance comparable to that of noble metal-based catalysts. The surface dispersed Pd component was found to mainly exist in the form of PdO, and the Cu-doping of substrate further increased the oxidation state of Pd species, accounting for the existence of highly reactive oxygen species in a greater amount.

**Keywords:** catalytic combustion reaction; regular morphology; Co<sub>3</sub>O<sub>4</sub>; copper; palladium; toluene

收稿日期:2019-03-12。收修改稿日期:2019-04-24。

国家自然科学基金委(No.21173118,21373110)资助项目。

\*通信联系人。E-mail:jiwj@nju.edu.cn

## 0 引言

众所周知,甲苯是工业生产中常见的挥发性有机化合物(VOCs),是主要的大气污染物组分,不仅会引发严重的环境问题,还会破坏人体免疫系统,导致白血病<sup>[1-4]</sup>。在 VOCs 的消除中,催化氧化法被认为是效率最高的方法之一,可以避免产生二次污染,减少能源损耗<sup>[1,5]</sup>。到目前为止,人们已经合成了各种类型的多相催化剂用于消除 VOCs,关键在于低温高效催化剂的开发。前期研究显示,过渡金属氧化物和负载贵金属(如 Pd、Pt、Au)催化剂都是催化 VOCs 燃烧消除的有效催化剂<sup>[5-16]</sup>。钴氧化物、铜氧化物都是典型的过渡金属氧化物,对 VOCs 的完全氧化具有较高的催化活性,且自身价格低廉。而贵金属基催化剂在低温下表现出更好的活性,但是价格昂贵且稳定性低。负载型 Pd 催化剂以其优异的催化性能受到人们的关注。Li 从水滑石类化合物(HTLCs)前体制备了一系列新型 Pd/Co<sub>3</sub>AlO 催化剂,用于甲苯的催化燃烧反应<sup>[17]</sup>。Pd/Co<sub>3</sub>AlO 的高活性可归因于 PdO 粒子的高度分散。

通过载体优化(如形貌可控合成、元素掺杂)以及适宜的金属负载,不仅能提高贵金属粒子的分散度,还可以优化金属-载体界面处的电荷传导和缺陷位浓度,显著增强金属-氧化物间的强相互作用,显著提升其催化燃烧性能<sup>[18-20]</sup>。前期研究表明,Co<sub>3</sub>O<sub>4</sub>催化 CO 和 VOC 燃烧反应的活性与其形貌密切相关,其中暴露(112)面的纳米片和暴露(110)面的纳米棒氧化能力尤为突出<sup>[21-23]</sup>。如主暴露(110)面的 Co<sub>3</sub>O<sub>4</sub>纳米棒,催化 CO 完全氧化温度可低至-77 °C<sup>[21]</sup>;主暴露(112)面的 Co<sub>3</sub>O<sub>4</sub>六角片和纳米管,可高效催化甲烷低温燃烧<sup>[22-23]</sup>。Xia 利用 KIT-6 作为硬模板制备了三维有序介孔 Co<sub>3</sub>O<sub>4</sub>用于甲苯氧化,由于其高表面积和丰富的氧吸附种类,表现出高的催化性能<sup>[24]</sup>。Yan 报道了 PVP 水热法制备三维分层的 Co<sub>3</sub>O<sub>4</sub>纳米花簇,由于 Co<sub>3</sub>O<sub>4</sub>纳米花簇表面具有丰富的 Co<sup>2+</sup>阳离子和相对浓度较高的表面吸附氧,因此具有较高的甲苯转化率<sup>[25]</sup>。

采用水热合成法可控制备了主要暴露 (112)面的 Co<sub>3</sub>O<sub>4</sub>六角片(*h*-Co<sub>3</sub>O<sub>4</sub>),对该基底进一步进行 Cu 掺杂,得到一系列掺 Cu 的六角片 *h*-Cu<sub>x</sub>Co<sub>3-x</sub>O<sub>n</sub>(x=0, 0.09, 0.18, 0.27)。再通过 NaOH 沉积-沉淀法<sup>[26]</sup>,沉积窄粒径分布的(2~3 nm)Pd 纳米粒子,获得相应的 Pd/*h*-Cu<sub>x</sub>Co<sub>3-x</sub>O<sub>n</sub>界面,并将所得材料应用于甲苯的催化

燃烧反应。

## 1 实验部分

实验中所用试剂均为分析纯,使用前未经进一步纯化直接使用。

### 1.1 催化材料的制备

Co<sub>3</sub>O<sub>4</sub>六角片(*h*-Co<sub>3</sub>O<sub>4</sub>)的制备:在 70 mL CoCl<sub>2</sub>·6H<sub>2</sub>O 溶液(0.3 mol·L<sup>-1</sup>)中,于 N<sub>2</sub>保护气氛下,用恒压滴液漏斗缓慢滴加 28 mL (2.5 mol·L<sup>-1</sup>) NaOH 水溶液。待沉淀剂滴加完全,得到亮粉色浆液,继续搅拌 20 min 后,将浆液转移至聚四氟内衬的不锈钢水热反应釜,180 °C 水热处理 24 h。待反应釜自然降至室温后,蒸馏水反复离心、洗涤,收集固体,并在 60 °C 下干燥 12 h,得到  $\beta$ -Co(OH)<sub>2</sub> 前驱体。将前驱体研磨,置于马弗炉中,以 2 °C·min<sup>-1</sup> 升温至 350 °C,空气氛下焙烧 3 h,所得黑色固体粉末,即为 Co<sub>3</sub>O<sub>4</sub>六角片(*h*-Co<sub>3</sub>O<sub>4</sub>)。

Cu 掺杂 Co<sub>3</sub>O<sub>4</sub>六角片(*h*-Cu<sub>x</sub>Co<sub>3-x</sub>O<sub>n</sub>)的制备:在 70 mL 蒸馏水中,按  $n_{\text{Cu}}:n_{\text{Co}}=3:97$ 、6:94 和 9:91 依次溶解特定计量的 CoCl<sub>2</sub>·6H<sub>2</sub>O 和 CuCl<sub>2</sub>·2H<sub>2</sub>O 后,用恒压滴液漏斗缓慢滴加 28 mL (2.5 mol·L<sup>-1</sup>) NaOH 水溶液,N<sub>2</sub> 气氛保护。后续步骤与制备 Co<sub>3</sub>O<sub>4</sub>六角片的步骤一致。最终按掺杂量由低至高依次获得 *h*-Cu<sub>0.09</sub>Co<sub>2.91</sub>O<sub>n</sub>、*h*-Cu<sub>0.18</sub>Co<sub>2.82</sub>O<sub>n</sub>、*h*-Cu<sub>0.27</sub>Co<sub>2.73</sub>O<sub>n</sub> 样品。

CuO/*h*-Co<sub>3</sub>O<sub>4</sub>的制备:采用等体积浸渍法,以 *h*-Co<sub>3</sub>O<sub>4</sub>为载体负载 CuO。称取 2 g *h*-Co<sub>3</sub>O<sub>4</sub>,然后将蒸馏水一滴一滴慢慢滴入 *h*-Co<sub>3</sub>O<sub>4</sub> 中,直至 *h*-Co<sub>3</sub>O<sub>4</sub> 吸水达到饱和,蒸馏水的体积为 3.5 mL。溶解 0.384 g Cu(NO<sub>3</sub>)<sub>2</sub>·3H<sub>2</sub>O 至 3.5 mL 蒸馏水中,使得  $n_{\text{Cu}}:n_{\text{Co}}=6:94$ ,然后将配制的浸渍液均匀负载于载体上,搅拌下红外灯干燥。焙烧步骤与制备 Co<sub>3</sub>O<sub>4</sub>六角片的步骤一致。焙烧后得到 CuO/*h*-Co<sub>3</sub>O<sub>4</sub> 样品。

Pd/*h*-Cu<sub>x</sub>Co<sub>3-x</sub>O<sub>n</sub>制备:用可控的 NaOH 沉积-沉淀法将 Pd 物种负载到 *h*-Cu<sub>x</sub>Co<sub>3-x</sub>O<sub>n</sub> 上,负载量为 1% (w/w)。具体步骤如下:在 15 mL 蒸馏水中加入 2.6 mL Pd 含量为 1.169 g·L<sup>-1</sup> 的酸性 H<sub>2</sub>PdCl<sub>6</sub> 溶液,预先滴加稀 NaOH 溶液(0.015 mol·L<sup>-1</sup>),缓慢调节 pH 值至 5 左右。加入 0.097 g 基底搅拌分散,超声处理 15 min 后,置于 60 °C 水浴中,再次滴加稀 NaOH 溶液,调节 pH 值至 9.0,连续搅拌 3 h 后,静置老化 2 h,再移至室温下冷却,反复洗涤、离心,收集固体。产物在 60 °C 下干燥 12 h。干燥后样品经研磨、收集,在马弗炉中以 1 °C·min<sup>-1</sup> 升温至 240 °C,焙烧 2 h,

最后获得  $\text{Pd}/\text{h-Cu}_x\text{Co}_{3-x}\text{O}_n$ 。

## 1.2 催化剂的表征

XRD 分析在 Philips 公司 X'Pert Pro X 射线粉末衍射仪上进行,  $\text{Cu K}\alpha(\lambda=0.1541 \text{ nm})$  为辐射源, 工作电压 40 kV, 工作电流 40 mA, 扫描范围  $2\theta=10^\circ \sim 80^\circ$ , 扫描速率  $0.208^\circ \cdot \text{s}^{-1}$ , 步长  $0.014^\circ$ 。

SEM 通过日本 Hitachi S-4800 型扫描电子显微镜观察, 工作电压为 10 kV。

HRTEM 图通过 JEOL JEM-2010 型透射电子显微镜获得, 工作电压为 200 kV。催化剂样品用无水乙醇超声分散, 用滴管取少量悬浮液滴于普通碳支持膜铜网上(400 目), 干燥后进行观察。

比表面积和孔结构( $\text{N}_2$  吸附-脱附)测量, 在美国 Micromeritics 公司 ASAP2020 比表面积及孔径分布仪上进行。称取约 0.2 g 样品, 测定前在真空下 523 K 预处理 6 h。吸附质为高纯氮气, 在 77 K 温度下测定样品的吸附-脱附等温曲线, 以 BET 方法计算样品的比表面积。

$\text{H}_2$  程序升温还原( $\text{H}_2\text{-TPR}$ )测试在自组装的仪器上进行, 取 15 mg 样品置于石英棉支撑的 U 型石英管中, 并用控温仪控制加热速率。样品先在 Ar 气流( $40 \text{ mL} \cdot \text{min}^{-1}$ )中以  $10^\circ \text{C} \cdot \text{min}^{-1}$  升温至 120 °C, 预处理 1 h。预处理完成, 温度冷却至室温后, 切换气流为  $\text{H}_2\text{-Ar}$  混合气( $V_{\text{H}_2}:V_{\text{Ar}}=5:95, 40 \text{ mL} \cdot \text{min}^{-1}$ )吹扫至基线平稳, 然后进行程序升温, 以  $10^\circ \text{C} \cdot \text{min}^{-1}$  的升温速率从室温升至 950 °C。采用色谱热导检测器(TCD)记录还原气中  $\text{H}_2$  的消耗。 $\text{H}_2\text{-TPR}$  定量分析通过 CuO 标样校正。

采用 X 射线光电子能谱(XPS)测定催化剂的表面元素组成及价态(结合能), 在 Perkin Elmer 公司的 PHI 5000 Versa Probe X 射线光电子能谱仪上进行。具体参数为: 单色化  $\text{Al K}\alpha(1253.6 \text{ eV})$  射线源, 功率 25 W。将样品放在 UHV 室中室温抽真空一夜( $p < 5 \times 10^{-7} \text{ Pa}$ )。各元素的原子结合能以污染碳 C1s 的结合能(284.6 eV)为参比进行校正。

## 1.3 催化剂性能评价

催化剂的活性评价在固定床微型反应装置上进行, 常压下进行甲苯燃烧性能评估。称取 100 mg(40~60 目)催化剂, 装填在内衬有少量高纯石英棉的石英反应管[500 mm(长)×4 mm(外径)×2 mm(内径)]中心位置。反应进行前, 先于 200 °C 下空气流( $60 \text{ mL} \cdot \text{min}^{-1}$ )中吹扫 1 h。将装有甲苯的饱和蒸汽发生器置于 0 °C 的恒温水浴中, 通入空气, 鼓泡产生甲苯

蒸汽。在接触催化剂之前, 甲苯饱和蒸汽被另一路空气稀释。通过调节两路气体流速, 将甲苯浓度控制在  $1000 \mu\text{L} \cdot \text{L}^{-1}$ , 同时反应混合气总流速为  $50 \text{ mL} \cdot \text{min}^{-1}$ , 相对应的空速(GHSV)为  $30000 \text{ mL} \cdot \text{g}^{-1} \cdot \text{h}^{-1}$ 。采用在线色谱分析反应尾气, 氢火焰离子检测器(FID)分析未反应的甲苯及有机产物, 色谱柱为 HP FFAP ( $0.32 \text{ mm} \times 25 \text{ m}$ )毛细管柱; 采用 Alltech Hayesep D HP(或 TDX-01)填充柱和热导检测器(TCD)分离检测永久性气体产物含量。除了主产物  $\text{CO}_2$  和微量  $\text{CO}$  外没有其它产物。碳平衡>98%。

## 2 结果与讨论

### 2.1 催化活性

图 1 为不同 Cu 掺杂量的催化剂上甲苯催化燃烧反应活性随温度的变化曲线。甲苯的转化率达到 90% 时的反应温度用  $T_{90}$  表示,  $T_{90}$  的值越低, 表明催化剂活性越高。而且在所有反应中, 产物只有  $\text{CO}_2$  和  $\text{H}_2\text{O}$ , 没有检测到  $\text{CO}$  和其它有机小分子。如图 1 所示, 基底  $\text{h-Co}_3\text{O}_4$ 、 $\text{h-Cu}_{0.09}\text{Co}_{2.91}\text{O}_n$ 、 $\text{h-Cu}_{0.18}\text{Co}_{2.82}\text{O}_n$ 、 $\text{h-Cu}_{0.27}\text{Co}_{2.73}\text{O}_n$  和  $\text{CuO/h-Co}_3\text{O}_4$  的  $T_{90}$  分别为 235、218、209、230 和 239 °C。结果表明, 通过浸渍法表面负载  $\text{CuO}$  的样品并不能提高甲苯氧化的催化活性, 而掺杂 Cu 元素的规整形貌六角片能提高基底的甲苯催化活性。其中,  $\text{h-Cu}_{0.18}\text{Co}_{2.82}\text{O}_n$  的活性最好, 选择该样品进行 Pd 负载, 并进一步考察其催化活性, 并与  $\text{h-Co}_3\text{O}_4$  和  $\text{Pd}/\text{h-Co}_3\text{O}_4$  进行比较。

如图 2 所示,  $\text{Pd}/\text{h-Co}_3\text{O}_4$  和  $\text{Pd}/\text{h-Cu}_{0.18}\text{Co}_{2.82}\text{O}_n$  的  $T_{90}$  分别为 218 和 198 °C。 $\text{h-Cu}_{0.18}\text{Co}_{2.82}\text{O}_n$  的活性略优于  $\text{Pd}/\text{h-Co}_3\text{O}_4$ , 可与负载贵金属相提并论。而  $\text{Pd}/\text{h-Cu}_{0.18}\text{Co}_{2.82}\text{O}_n$  进一步提升了基底的催化活性。除  $T_{90}$

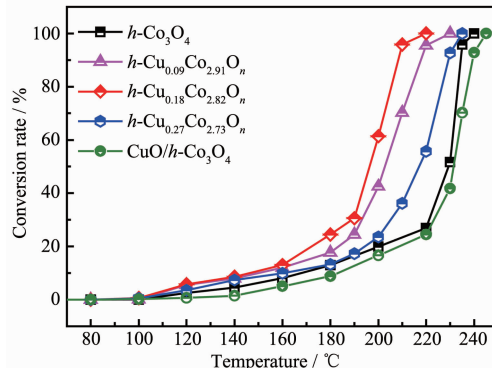


图 1  $\text{h-Co}_3\text{O}_4$ 、 $\text{h-Cu}_x\text{Co}_{3-x}\text{O}_n$  和  $\text{CuO/h-Co}_3\text{O}_4$  的催化甲苯氧化活性

Fig.1 Catalytic activity of  $\text{h-Co}_3\text{O}_4$ ,  $\text{h-Cu}_x\text{Co}_{3-x}\text{O}_n$  and  $\text{CuO/h-Co}_3\text{O}_4$  catalysts for toluene oxidation

表 1 不同催化剂上甲苯完全氧化反应性能  
Table 1 Performance of total oxidation of toluene over various catalysts

Sample	VOC concentration / ( $\mu\text{L}\cdot\text{L}^{-1}$ )	GHSV / ( $\text{mL}\cdot\text{g}^{-1}\cdot\text{h}^{-1}$ )	$T_{90}$ / °C	Rate (180 °C) / ( $\mu\text{mol}\cdot\text{g}_{\text{cat}}^{-1}\cdot\text{h}^{-1}$ )	Reference
LaMnO <sub>3</sub> (citrate sol-gel)	1 000	15 000	213	80.4	[5]
MnCo-3	1 000	40 080	214	143.1	[8]
0.5%( <i>w/w</i> ) K/Mn <sub>3</sub> O <sub>4</sub>	1 000	15 000	250	33.5	[12]
Pd/Co <sub>3</sub> AlO (coprecipitation)	800	30 000	230	85.7	[17]
Co-KIT6	1 000	20 000	180	803.5	[24]
Co <sub>3</sub> O <sub>4</sub> -300 °C	1 000	37 500	240	418.5	[25]
7.4Au/Co <sub>3</sub> O <sub>4</sub>	1 000	20 000	250	142.9	[29]
8%( <i>w/w</i> ) Co <sub>3</sub> O <sub>4</sub> /three-dimensionally ordered microporous La <sub>0.6</sub> Sr <sub>0.4</sub> CoO <sub>3</sub>	1 000	20 000	227	142.9	[30]
Pd-CoAlO-Al	2 000	60 000	210	1 071.4	[31]
6.55Au/Fe <sub>2</sub> O <sub>3</sub>	1 000	20 000	240	321.4	[32]
0.99Pd/three-dimensionally ordered microporous Co <sub>3</sub> O <sub>4</sub>	1 000	40 000	218	178.6	[33]
Pd/h-Cu <sub>0.18</sub> Co <sub>2.82</sub> O <sub>n</sub>	1 000	30 000	198	482.1	This work

外,常用特定温度下的催化速率(Rate)来表示催化剂的性能。以往文献中,甲苯氧化反应典型样品的催化性能总结在表 1。显然,Pd/h-Cu<sub>0.18</sub>Co<sub>2.82</sub>O<sub>n</sub>的催化活性较为优异。

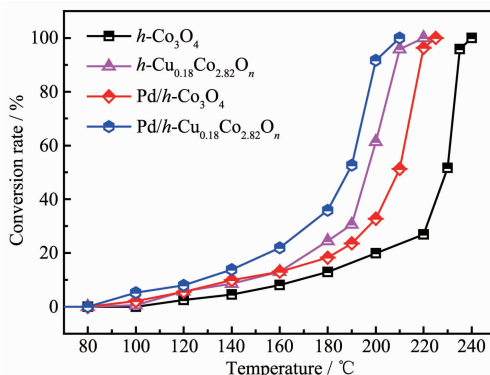


图 2  $h\text{-Co}_3\text{O}_4$  和  $h\text{-Cu}_{0.18}\text{Co}_{2.82}\text{O}_n$  及其载 Pd 样品的催化甲苯氧化活性

Fig.2 Catalytic activity of  $h\text{-Co}_3\text{O}_4$ ,  $h\text{-Cu}_{0.18}\text{Co}_{2.82}\text{O}_n$  and Pd-loaded samples for toluene oxidation

众所周知,过渡金属氧化物的催化活性与多种因素有关,如形貌<sup>[22-23,25]</sup>、缺陷密度<sup>[9]</sup>、还原性<sup>[27]</sup>和氧物种浓度<sup>[28]</sup>,下面采用一系列表征手段对催化剂进行分析。

## 2.2 XRD 物相分析

图 3 为不同样品的 XRD 图。可以看出,所有样品位于  $2\theta=19.0^\circ$ 、 $31.3^\circ$ 、 $36.8^\circ$ 、 $38.6^\circ$ 、 $44.8^\circ$ 、 $55.7^\circ$ 、 $59.4^\circ$  和  $65.3^\circ$  的衍射峰均归属于 Co<sub>3</sub>O<sub>4</sub> 尖晶石结构

的(111)、(220)、(331)、(222)、(400)、(422)、(511)和(440)晶面的衍射信号(PDF No.00-042-1467),说明掺杂基底仍较好地保持尖晶石结构。此外,掺杂 Cu 后,XRD 图还出现较弱的新衍射峰,且随掺杂量的增大,峰强度增大。新衍射峰对应 CuO 的(111)晶面,显示在掺杂基底表面有 CuO 物种,并不是所有的 Cu 都进入到基底晶格。负载 Pd 后,基底峰强度有所下降,但没有发现明显的 Pd 或 PdO 的衍射峰,说明 Pd 或 PdO 高度分散于基底表面,且其粒子尺寸很小。

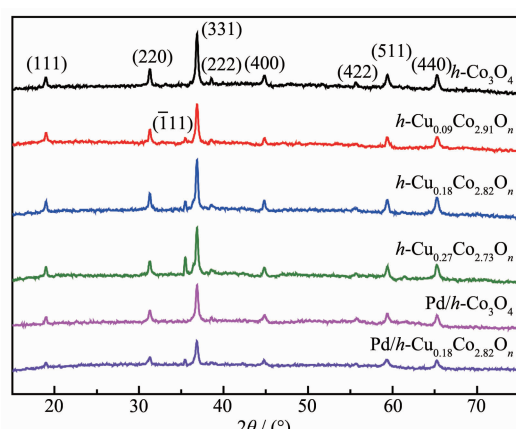


图 3  $h\text{-Cu}_x\text{Co}_{3-x}\text{O}_n$  和 Pd/h-Cu<sub>x</sub>Co<sub>3-x</sub>O<sub>n</sub> 的 XRD 图

Fig.3 XRD patterns of  $h\text{-Cu}_x\text{Co}_{3-x}\text{O}_n$  and Pd/h-Cu<sub>x</sub>Co<sub>3-x</sub>O<sub>n</sub>

## 2.3 SEM 和 TEM 形貌分析

为研究 Cu 掺杂对  $h\text{-Cu}_x\text{Co}_{3-x}\text{O}_n$  ( $x=0$ 、 $0.09$ 、 $0.18$ 、 $0.27$ ) 的形貌影响,对样品进行了 SEM 测试(图 4)。图 4(a)表明,无 Cu 掺杂时, $h\text{-Co}_3\text{O}_4$  基底尺寸在 200~

300 nm 之间, 尺寸大小均匀, 表面较为光滑。图 4(b~d) 显示,  $h\text{-Cu}_{0.09}\text{Co}_{2.91}\text{O}_n$ 、 $h\text{-Cu}_{0.18}\text{Co}_{2.82}\text{O}_n$  和  $h\text{-Cu}_{0.27}\text{Co}_{2.73}\text{O}_n$  均能保持六角片形貌, 但是随着掺杂量升高, 基底规整度下降, 表面相对粗糙, 出现细小颗粒, 样品厚度有所增加。通常, 结构缺陷(如氧空位)密度越高, 越有利于氧的活化, 催化剂的催化性能越好<sup>[9]</sup>。结合催

化活性结果, 说明适度结构缺陷的引入能提高催化活性, 但过量 Cu 的掺杂会降低基底结构的稳定性, 从而局部改变基底的形貌以及晶面结构, 这从 Cu 掺杂量超过 6%(w/w)时催化活性反而下降可清晰地反映出来。

高分辨电镜(图 5)显示,  $\text{Pd}/h\text{-Co}_3\text{O}_4$  和  $\text{Pd}/h\text{-}$

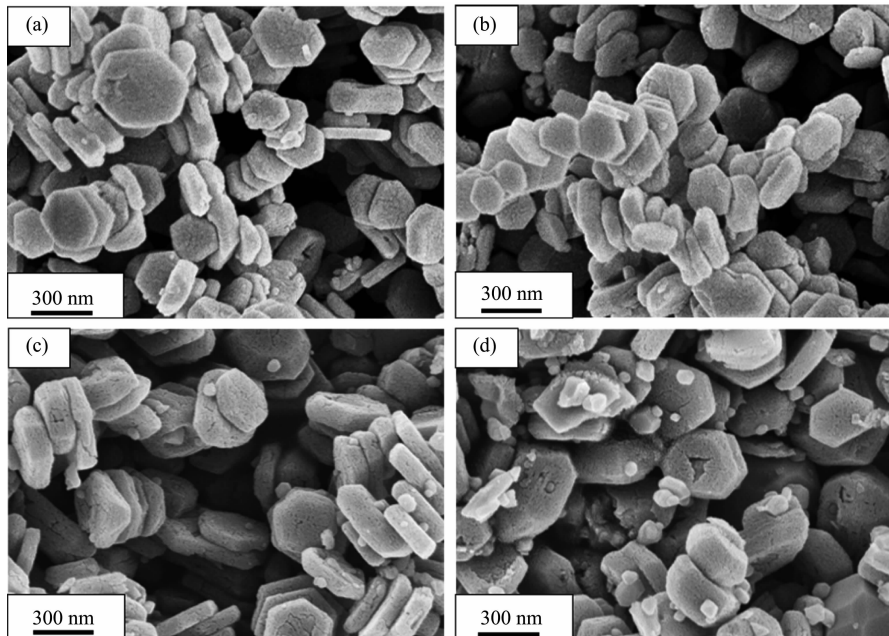


图 4 (a)  $h\text{-Co}_3\text{O}_4$ , (b)  $h\text{-Cu}_{0.09}\text{Co}_{2.91}\text{O}_n$ , (c)  $h\text{-Cu}_{0.18}\text{Co}_{2.82}\text{O}_n$  和 (d)  $h\text{-Cu}_{0.27}\text{Co}_{2.73}\text{O}_n$  的 SEM 图  
Fig.4 SEM images of (a)  $h\text{-Co}_3\text{O}_4$ , (b)  $h\text{-Cu}_{0.09}\text{Co}_{2.91}\text{O}_n$ , (c)  $h\text{-Cu}_{0.18}\text{Co}_{2.82}\text{O}_n$  and (d)  $h\text{-Cu}_{0.27}\text{Co}_{2.73}\text{O}_n$

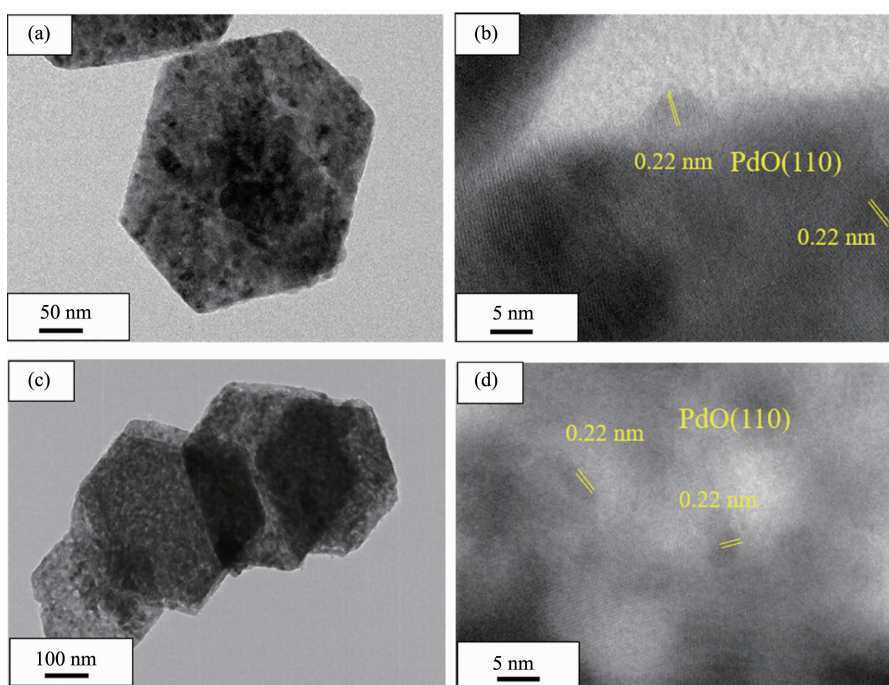


图 5 (a, b)  $\text{Pd}/h\text{-Co}_3\text{O}_4$  和 (c, d)  $\text{Pd}/h\text{-Cu}_{0.18}\text{Co}_{2.82}\text{O}_n$  的 TEM/HRTEM 图

Fig.5 TEM/HRTEM images of (a, b)  $\text{Pd}/h\text{-Co}_3\text{O}_4$  and (c, d)  $\text{Pd}/h\text{-Cu}_{0.18}\text{Co}_{2.82}\text{O}_n$

Cu<sub>0.18</sub>Co<sub>2.82</sub>O<sub>n</sub>表面上分散了粒径在2~3 nm的Pd粒子,且Pd粒子呈现出清晰的晶格条纹,间距为0.22 nm,对应PdO纳米粒子(110)晶面的原子列间距。

对Pd/h-Cu<sub>0.18</sub>Co<sub>2.82</sub>O<sub>n</sub>样品进行了(SEM)EDX-Mapping分析(图6),考察基底Cu元素掺杂以及Pd组分负载情况。由样品元素Mapping图来看,Cu元素以及Pd组分分布较为均匀。在图6(a,b)中随意选

取3个区域,采用能量弥散X射线谱(EDX)对Pd/h-Cu<sub>0.18</sub>Co<sub>2.82</sub>O<sub>n</sub>样品进行了元素含量的测定,同时也应用电感耦合等离子体原子发射光谱法(ICP-AES)进行分析测定,结果如表2所示。结果显示,对于所含的Pd、Cu、Co元素,三者的数值均比较接近,表明铜组分掺杂和Pd组分负载均较为充分。

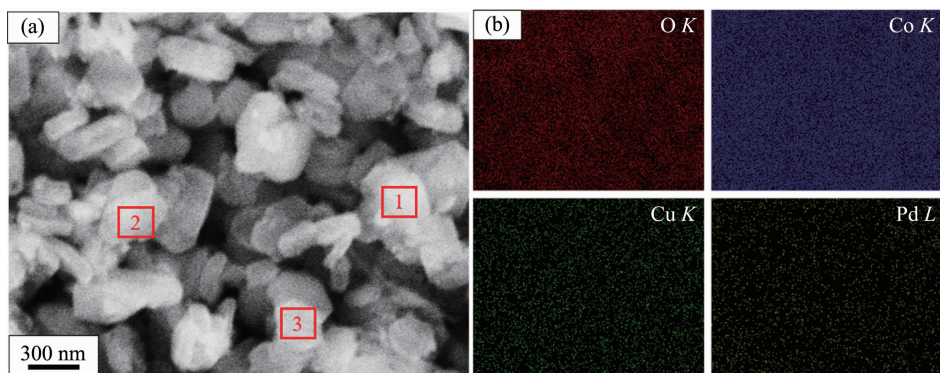


图6 Pd/h-Cu<sub>0.18</sub>Co<sub>2.82</sub>O<sub>n</sub>的(a)SEM图和(b)mapping图  
Fig.6 (a) SEM image and (b) mapping images of Pd/h-Cu<sub>0.18</sub>Co<sub>2.82</sub>O<sub>n</sub>

表2 Pd/h-Cu<sub>0.18</sub>Co<sub>2.82</sub>O<sub>n</sub>的元素含量  
Table 2 Elemental content of Pd/h-Cu<sub>0.18</sub>Co<sub>2.82</sub>O<sub>n</sub>

Sample	Mass fraction / %								
	Pd			Co			Cu		
	ICP	EDX	Nominal value	ICP	EDX	Nominal value	ICP	EDX	Nominal value
Pd/h-Cu <sub>0.18</sub> Co <sub>2.82</sub> O <sub>n</sub>	1.0	1.3	1.0	68.3	71.1	68.1	4.5	4.5	4.7

#### 2.4 N<sub>2</sub>吸附-脱附测定

不同样品的比表面积见表3。若无堆积孔存在,六角片样品的比表面积(S<sub>BET</sub>)应在10~20 m<sup>2</sup>·g<sup>-1</sup>之间。*h*-Co<sub>3</sub>O<sub>4</sub>的比表面积较大,为37 m<sup>2</sup>·g<sup>-1</sup>。掺杂Cu后,样品的比表面积明显下降,结合SEM结果,是由于片层变厚且堆叠程度提高所致。由于Cu离子半径小于Co离子半径,掺杂后,晶格张力增大,缺陷增多。基底载Pd之后,比表面积有所下降。由催化

剂反应速率来看,反应的表观活性并不与比表面积正相关。

#### 2.5 H<sub>2</sub>-TPR表征

一般来说,H<sub>2</sub>-TPR的还原峰位置与样品的氧化态有关。如图7所示,*h*-Co<sub>3</sub>O<sub>4</sub>有明显分离的2个还原峰,较低温还原峰对应Co<sup>3+</sup>还原为Co<sup>2+</sup>,较高温还原峰对应Co<sup>2+</sup>还原为金属Co。由于铜离子的还原与钴离子的还原有较大程度的重叠,而且相对于Co而言Cu的含量相对较少,因此难以在H<sub>2</sub>-TPR谱中区分出Cu物种的还原峰。掺Cu之后,2个还原峰位置相互靠近。还原峰温度越低,表明相应的晶格氧越活泼。负载Pd之后,低温还原峰出现在105 °C左右,对应于表面Pd物种的还原,说明Pd的引入产生了高反应性的氧物种。与此同时,Pd物种的引入也显著降低了基底晶格氧的还原温度。说明Pd物种与基底的相互作用进一步削弱了Co-O键,一方面提高了界面处基底晶格氧的反应性,另一方面表面氧物种迁移性增大,易形成氧空位,有利于吸附和活化

表3 *h*-Cu<sub>x</sub>Co<sub>3-x</sub>O<sub>n</sub>和Pd/h-Cu<sub>x</sub>Co<sub>3-x</sub>O<sub>n</sub>的比表面积  
Table 3 Specific surface area of *h*-Cu<sub>x</sub>Co<sub>3-x</sub>O<sub>n</sub> and Pd/h-Cu<sub>x</sub>Co<sub>3-x</sub>O<sub>n</sub>

Sample	S <sub>BET</sub> / (m <sup>2</sup> ·g <sup>-1</sup> )
<i>h</i> -Co <sub>3</sub> O <sub>4</sub>	37
<i>h</i> -Cu <sub>0.09</sub> Co <sub>2.91</sub> O <sub>n</sub>	16
<i>h</i> -Cu <sub>0.18</sub> Co <sub>2.82</sub> O <sub>n</sub>	14
<i>h</i> -Cu <sub>0.27</sub> Co <sub>2.73</sub> O <sub>n</sub>	9
Pd/h-Co <sub>3</sub> O <sub>4</sub>	21
Pd/h-Cu <sub>0.18</sub> Co <sub>2.82</sub> O <sub>n</sub>	11

气相氧。

对  $h\text{-Co}_3\text{O}_4$ 、 $h\text{-Cu}_{0.18}\text{Co}_{2.82}\text{O}_n$ 、 $\text{Pd}/h\text{-Co}_3\text{O}_4$  和  $\text{Pd}/h\text{-Cu}_{0.18}\text{Co}_{2.82}\text{O}_n$  的  $\text{H}_2\text{-TPR}$  谱图的还原峰峰面积依据  $\text{CuO}$  标样进行了校正, 得到总的耗氢量分别为 15.3、15.5、16.1 和 16.6  $\text{mmol}\cdot\text{g}^{-1}$ (表 4)。表 4 中的 Peak I 和 Peak II 分别对应图 7 中各样品的较低温和较高温还原峰。与  $\text{Co}_3\text{O}_4$  完全还原的理论耗氢量(16.6  $\text{mmol}\cdot\text{g}^{-1}$ )比较接近, 显示氧化钴基底与掺铜氧化钴基底接近完全还原。注意到与 Pd 组分相关的

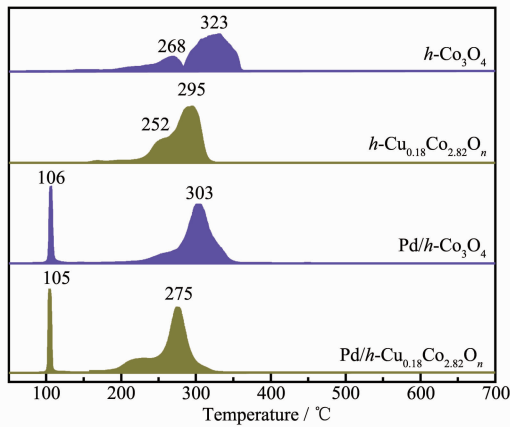


图 7  $h\text{-Co}_3\text{O}_4$  和  $h\text{-Cu}_{0.18}\text{Co}_{2.82}\text{O}_n$  及其载 Pd 样品的  $\text{H}_2\text{-TPR}$  图

Fig.7  $\text{H}_2\text{-TPR}$  profiles of  $h\text{-Co}_3\text{O}_4$ ,  $h\text{-Cu}_{0.18}\text{Co}_{2.82}\text{O}_n$  and Pd-loaded samples

表 4 样品的  $\text{H}_2\text{-TPR}$  定量分析

Table 4  $\text{H}_2\text{-TPR}$  quantitative analysis of samples

Sample	Amount of $\text{H}_2$ consumption / ( $\text{mmol}\cdot\text{g}^{-1}$ )		
	Peak I	Peak II	Total
$h\text{-Co}_3\text{O}_4$	4.0	11.3	15.3
$h\text{-Cu}_{0.18}\text{Co}_{2.82}\text{O}_n$	4.1	11.4	15.5
$\text{Pd}/h\text{-Co}_3\text{O}_4$	1.8	14.3	16.1
$\text{Pd}/h\text{-Cu}_{0.18}\text{Co}_{2.82}\text{O}_n$	1.9	14.7	16.6

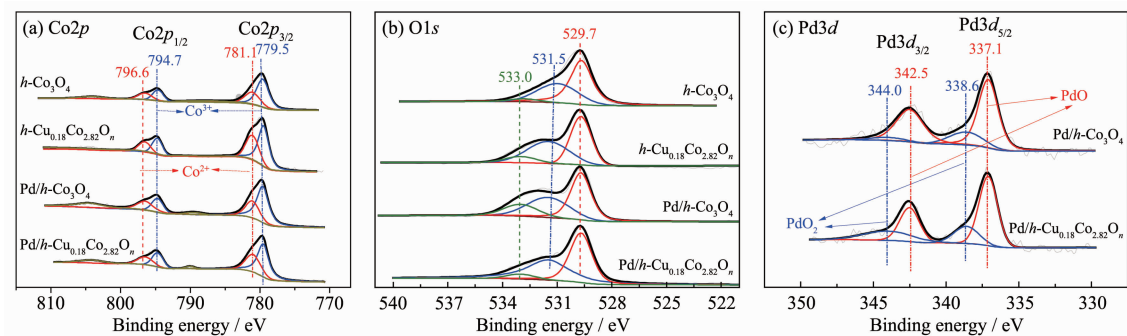


图 8 不同基底和载钯样品的(a)  $\text{Co}2p$ 、(b)  $\text{O}1s$  和(c)  $\text{Pd}3d$  的 XPS 谱图

Fig.8 (a)  $\text{Co}2p$ , (b)  $\text{O}1s$  and (c)  $\text{Pd}3d$  XPS spectra of the various substrates and the Pd-loaded samples

还原耗氢量明显高于对应的 Pd 含量, 显示还原不仅涉及与 Pd 直接相关的氧离子, 还有与 Pd 组分紧密接触的基底氧离子甚至还有较多的吸附氧物种。

## 2.6 XPS 表征

采用 XPS 分析了催化剂中表面氧化态和表面氧物种信息。图 8 为不同催化剂样品的  $\text{Co}2p$ 、 $\text{O}1s$  和  $\text{Pd}3d$  的 XPS 谱图。通过对比, 不同样品中各元素的氧化态基本相同。如图 8(a)所示, 在  $\text{Co}2p$  谱图中,  $\text{Co}2p_{3/2}$  和  $\text{Co}2p_{1/2}$  可分峰拟合为结合能在 779.5、781.1、794.7 和 796.6 eV 的 4 个峰, 其中 779.5 和 794.7 eV 的峰归属于  $\text{Co}^{3+}$ (结合能差值  $\Delta BE=15$  eV), 781.1 和 796.6 eV 归属于  $\text{Co}^{2+}$ ( $\Delta BE=15.5$  eV)<sup>[27,34]</sup>。对于甲苯催化燃烧反应,  $\text{Co}^{2+}$  与催化活性密切相关。 $\text{Co}^{2+}$  的含量越高, 越容易形成氧空位, 吸附活化表面氧物种( $\text{O}^-/\text{O}_2^-$ )和  $\text{O}_2^-$ , 有利于氧化反应发生, 所以表面  $\text{Co}^{2+}/\text{Co}^{3+}$  比例越高, 催化剂活性越高<sup>[27,29]</sup>。

进一步分析了样品  $\text{O}1s$  谱图, 如图 8(b)所示,  $\text{O}1s$  谱线可以分成 3 个次级峰: 位于 529.7 eV 的峰归属于表面晶格氧( $\text{O}_{\text{latt}}$ ), 位于 531.5 eV 的峰归属于表面吸附氧( $\text{O}_{\text{ads}}$ ), 结合能位于 533.0 eV 的峰归属于表面碳酸根和羟基( $-\text{CO}_3^{2-}/\text{OH}$ )<sup>[30,35]</sup>。催化剂的完全氧化活性并不主要由晶格氧决定, 而主要由表面吸附氧决定。一般来说, 催化剂表面吸附氧含量越高, 对甲苯催化燃烧反应越有利。对比催化剂表面  $\text{O}_{\text{ads}}/\text{O}_{\text{latt}}$  ( $n/n$ )比值(表 5),  $h\text{-Co}_3\text{O}_4$ 、 $\text{Pd}/h\text{-Co}_3\text{O}_4$ 、 $h\text{-Cu}_{0.18}\text{Co}_{2.82}\text{O}_n$  和  $\text{Pd}/h\text{-Cu}_{0.18}\text{Co}_{2.82}\text{O}_n$  样品表面  $\text{O}_{\text{ads}}/\text{O}_{\text{latt}}$  比值依次为 0.61、0.73、0.90 和 0.96, 说明 Cu 掺杂和 Pd 负载均能提升催化剂表面的吸附氧比例。

图 8(c)是  $\text{Pd}3d$  谱图。催化剂表面的 Pd 组分主要以 2 种形式存在( $\text{PdO}$  和  $\text{PdO}_2$ )。 $\text{Pd}^{2+}$  对应的  $\text{Pd}3d_{5/2}$  和  $\text{Pd}3d_{3/2}$  结合能分别为 337.1 和 342.5 eV, 而  $\text{Pd}^{4+}$  对应的

表 5 由 XPS 分析测定的表面 Co<sup>2+</sup>/Co<sup>3+</sup>, O<sub>ads</sub>/O<sub>latt</sub> 以及 Pd<sup>4+</sup>/Pd<sup>2+</sup> 比例

Table 5 Surface ratios of Co<sup>2+</sup>/Co<sup>3+</sup>, O<sub>ads</sub>/O<sub>latt</sub> and Pd<sup>4+</sup>/Pd<sup>2+</sup> estimated by XPS

Sample	$n_{\text{Co}^{2+}}/n_{\text{Co}^{3+}}$	$n_{\text{O}_{\text{ads}}}/n_{\text{O}_{\text{latt}}}$	$n_{\text{Pd}^{4+}}/n_{\text{Pd}^{2+}}$
<i>h</i> -Co <sub>3</sub> O <sub>4</sub>	0.53	0.61	—
<i>h</i> -Cu <sub>0.18</sub> Co <sub>2.82</sub> O <sub>n</sub>	0.55	0.90	—
Pd/ <i>h</i> -Co <sub>3</sub> O <sub>4</sub>	0.60	0.73	0.21
Pd/ <i>h</i> -Cu <sub>0.18</sub> Co <sub>2.82</sub> O <sub>n</sub>	0.61	0.96	0.45

Pd3d<sub>5/2</sub> 和 Pd3d<sub>3/2</sub> 结合能分别为 338.6 和 344.0 eV<sup>[31,34,36]</sup>。出现高价态 Pd<sup>4+</sup>物种, 说明催化剂表面吸附有丰富的高活性氧物种, 这与 XPS (O1s)结果一致。

考虑到掺杂 Cu 离子对 Co<sup>2+</sup>的置换导致 Co<sup>2+</sup>减少, 但在 Cu<sub>0.18</sub>Co<sub>2.82</sub>O<sub>n</sub> 表面上测得的 Co<sup>2+</sup>/Co<sup>3+</sup>的比例与未掺杂 Co<sub>3</sub>O<sub>4</sub> 基底表面上 Co<sup>2+</sup>/Co<sup>3+</sup>的比例仍然可比(尚未计表面 Cu 离子贡献), 而测得的表面 O<sub>ads</sub>/O<sub>latt</sub> 的比例证实了 Cu 离子的掺杂增多了表面氧空位, 提升了表面吸附氧物种浓度。

## 2.7 表观活化能( $E_a$ )

在氧气显著过量的情况下, 甲苯催化氧化反应属于一级反应, 该反应动力学特征已在许多文献中

得以确认<sup>[1,31-33]</sup>。由于本研究与这些文献的实验条件相似, 因此其动力学特征是一致的。取甲苯转化率≤20%的催化活性数据, 作阿伦尼乌斯图(图 9), 对应的方程式和参数归纳在表 6 中( $R^2$  为拟合相关度)。*h*-Cu<sub>0.18</sub>Co<sub>2.82</sub>O<sub>n</sub> 与 Pd/*h*-Co<sub>3</sub>O<sub>4</sub> 二者的表观活化能较接近, 但 *h*-Cu<sub>0.18</sub>Co<sub>2.82</sub>O<sub>n</sub> 与 Pd/*h*-Cu<sub>0.18</sub>Co<sub>2.82</sub>O<sub>n</sub> 二者的表观活化能相差更趋明显。反映出 *h*-Cu<sub>0.18</sub>Co<sub>2.82</sub>O<sub>n</sub> 与 Pd/*h*-Co<sub>3</sub>O<sub>4</sub> 二者相近的内在催化潜能, 而 Pd/*h*-Cu<sub>0.18</sub>Co<sub>2.82</sub>O<sub>n</sub> 具有最强的催化能力。

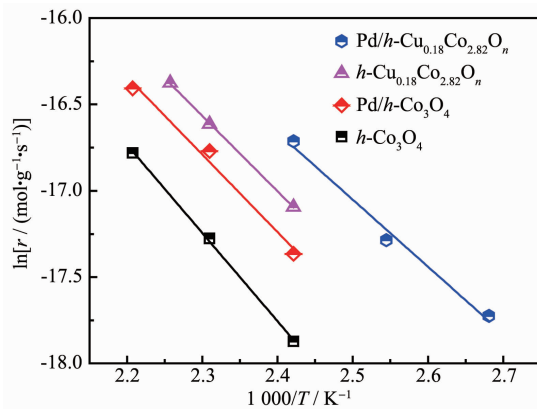


图 9 不同样品的阿伦尼乌斯图

Fig.9 Arrhenius plots for various samples

表 6 不同样品的表观活化能和计算方程式

Table 6 Apparent activation energies and calculate equations of various samples

Sample	Equation	Intercept	Slope	$R^2$	$E_a / (\text{kJ} \cdot \text{mol}^{-1})$
<i>h</i> -Co <sub>3</sub> O <sub>4</sub>	$y = -5.493 - 5.11x$	-5.493	-5.11	0.99	42.5
<i>h</i> -Cu <sub>0.18</sub> Co <sub>2.82</sub> O <sub>n</sub>	$y = -6.519 - 4.37x$	-6.519	-4.37	0.99	36.3
Pd/ <i>h</i> -Co <sub>3</sub> O <sub>4</sub>	$y = -6.458 - 4.49x$	-6.458	-4.49	0.98	37.3
Pd/ <i>h</i> -Cu <sub>0.18</sub> Co <sub>2.82</sub> O <sub>n</sub>	$y = -6.047 - 4.37x$	-7.341	-3.89	0.98	32.3

## 3 结 论

由水热法制备规整形貌且具有主要暴露晶面为(112)面的 Co<sub>3</sub>O<sub>4</sub> 六角片, 再对此进行了 Cu 掺杂, 并且进行了低含量的 Pd 负载。所得材料应用于催化甲苯燃烧反应。Cu 掺杂基底的活性可以超越未掺杂基底上的载 Pd 样品, 而在掺杂基底上的载 Pd 样品可使催化甲苯燃烧反应的  $T_{90}$  降至 198 °C。因此通过本研究的材料设计与制备策略, 成功地获得了用于目标反应的高性能催化材料。EDX-Mapping 测试结果显示掺杂的 Cu 物种总体分布比较均匀。H<sub>2</sub>-TPR 结果揭示了适量的基底 Cu 掺杂不仅提升了表面晶格氧的反应性且增加了氧空位; XPS 结果进一步证明了 Cu 掺杂提升了表面 Co<sup>2+</sup>的比例以及表面吸附

氧的相对浓度, 特别是基底 Cu 掺杂提升了 Pd 的氧化态从而形成了更多非常活泼的表面氧物种; 而不同样品上表观活化能的测定反映出 Cu 掺杂和 Pd 负载对材料催化潜能的重要影响。

## 参 考 文 献:

- [1] Wang X Y, Liu Y, Zhang T H, et al. ACS Catal., 2017, 7(3): 1626-1636
- [2] de Rivas B, López-Fonseca R, Jiménez-González C, et al. J. Catal., 2011, 281(1):88-97
- [3] Rokicinska A, Natkalski P, Dudek B, et al. Appl. Catal. B, 2016, 195:59-68
- [4] Sinha A K, Suzuki K, Takahara M, et al. Angew. Chem. Int.

- Ed., **2007**,**119**(16):2949-2952
- [5] Zhang C H, Guo Y L, Guo Y, et al. *Appl. Catal. B*, **2014**,**148-149**:490-498
- [6] Fei Z Y, Lu P, Feng X Z, et al. *Catal. Sci. Technol.*, **2012**,**2**(8):1705-1710
- [7] Quiroz J, Giraudon J, Gervasini A, et al. *ACS Catal.*, **2015**,**5**(4):2260-2269
- [8] Wang Y, Arandian H, Liu Y X, et al. *ChemCatChem*, **2018**,**10**(16):3429-3434
- [9] Aranda A, Agouram S, López J M, et al. *Appl. Catal. B*, **2012**,**127**:77-88
- [10] Marin R P, Kondrat S A, Pinnell R K, et al. *Appl. Catal. B*, **2013**,**140-141**:671-679
- [11] Liotta L F, Wu H J, Pantaleo G, et al. *Catal. Sci. Technol.*, **2013**,**3**(12):3085-3102
- [12] Kim S C, Shim W G. *Appl. Catal. B*, **2010**,**98**(3/4):180-185
- [13] Chlala D, Labaki M, Giraudon J, et al. *C.R. Chim.*, **2016**,**19**(4):525-537
- [14] Rahmani F, Haghghi M, Estifaei P. *Microporous Mesoporous Mater.*, **2014**,**185**:213-223
- [15] Barakat T, Idakiev V, Cousin R, et al. *Appl. Catal. B*, **2014**,**146**:138-146
- [16] AO Ping(敖平), XU Xiang-Sheng(许响生), XU Xiao-Xiao(徐潇潇), et al. *Acta Phys.-Chim. Sin.*(物理化学学报), **2014**,**30**(5):950-956
- [17] Li P, He C, Cheng J, et al. *Appl. Catal. B*, **2011**,**101**(3/4):570-579
- [18] Arandian H, Dai H X, Ji K M, et al. *Small*, **2015**,**11**(20):2366-2371
- [19] Hu Z, Liu X F, Meng D M, et al. *ACS Catal.*, **2016**,**6**(4):2265-2279
- [20] Liotta L F. *Appl. Catal. B*, **2010**,**100**(3/4):403-412
- [21] Xie X W, Li Y, Liu Z Q, et al. *Nature*, **2009**,**458**(7239):746-749
- [22] Hu L H, Peng Q, Li Y D. *J. Am. Chem. Soc.*, **2008**,**130**(48):16136-16137
- [23] Fei Z, He S C, Li L, et al. *Chem. Commun.*, **2012**,**48**(6):853-855
- [24] Xia Y S, Dai H X, Jiang H Y, et al. *Catal. Commun.*, **2010**,**11**(15):1171-1175
- [25] Yan Q Y, Li X Y, Zhao Q D, et al. *J. Hazard. Mater.*, **2012**,**209-210**:385-391
- [26] Jiang W, Pang Y J, Gu L L, et al. *J. Catal.*, **2017**,**349**:183-196
- [27] Xu L, Jiang Q Q, Xiao Z H, et al. *Angew. Chem. Int. Ed.*, **2016**,**55**(17):5277-5281
- [28] Wang Q, Peng Y, Fu J, et al. *Appl. Catal. B*, **2015**,**168-169**:42-50
- [29] Yang H G, Dai H X, Deng J G, et al. *ChemSusChem*, **2014**,**7**(6):1745-1754
- [30] Li X W, Dai H X, Deng J G, et al. *Appl. Catal. A*, **2013**,**458**:11-20
- [31] Zhao S, Hu F Y, Li J H. *ACS Catal.*, **2016**,**6**(6):3433-3441
- [32] Han W, Deng J G, Xie S H, et al. *Ind. Eng. Chem. Res.*, **2014**,**53**(9):3486-3494
- [33] Xie S H, Deng J G, Zang S M, et al. *J. Catal.*, **2015**,**322**:38-48
- [34] Liotta L F, Di Carlo G, Pantaleo G, et al. *Appl. Catal. B*, **2007**,**75**(3/4):182-188
- [35] NIU Ru-Yue(牛汝月), LIU Peng-Cheng(刘鹏程), LI Wei(李威), et al. *Chinese J. Inorg. Chem.*(无机化学学报), **2018**,**34**(10):1929-1935
- [36] Wang Y, Arandian H, Scott J, et al. *ACS Catal.*, **2016**,**6**(10):6935-6947